

## تعیین ماده مناسب جهت پوشش ایمپلنت و ابامنت در بررسی ریزنشت محل اتصال ایمپلنت و ابامنت با استفاده از رادیو تریسرو دستگاه شمارش گاما

دکتر مهناز ارشد<sup>۱</sup>- دکتر حکیمه سیادت<sup>۲</sup>- دکتر بابک فلاحتی سیجانی<sup>۳</sup>- دکتر حسینعلی ماهکلی<sup>۴</sup>

۱- عضو مرکز تحقیقات دندانپزشکی دانشگاه علوم پزشکی تهران و متخصص پروتزهای دندانی

۲- عضو مرکز تحقیقات ایمپلنت های دندانی و دانشیار گروه آموزشی پروتزهای دندانی دانشکده دندانپزشکی دانشگاه علوم پزشکی تهران

۳- دانشیار گروه آموزشی پزشکی هسته ای دانشکده پزشکی دانشگاه علوم پزشکی تهران

۴- عضو مرکز تحقیقات دندانپزشکی و استادیار گروه آموزشی پروتزهای دندانی دانشکده دندانپزشکی دانشگاه علوم پزشکی تهران

### چکیده

**زمینه و هدف:** جهت اندازه گیری ریزنشت توسط رادیوایزوتوب، نمونه در محلول غوطه ورمی شود و رادیوایزوتوب هم به ناحیه ایترفیس نفوذ پیدا می کند و هم به تغیه سطوح می چسبد. با پوشاندن سطح نمونه به جز محل ایترفیس با ماده ای مناسب قبل از غوطه ورسازی، و جدا کردن ماده قبل از شمارش، فقط میزان نفوذ رادیوایزوتوب به محل ایترفیس شمارش می شود. هدف از این مطالعه تعیین ماده مناسب جهت پوشش ایمپلنت و ابامنت در بررسی ریزنشت محل اتصال ایمپلنت و ابامنت با استفاده از رادیوتریسرو و دستگاه شمارش گاما می باشد.

**روش بررسی:** در این مطالعه آزمایشگاهی ۴۶ نمونه در دو گروه تقسیم بندی شدند. در گروه اول از نمونه های ایمپلنتی با پوشش پوتی، لاک و پوتی چسب قطره ای با یک میلی متر فاصله تا ایترفیس استفاده گردید. در گروه دوم از نمونه های غیر ایمپلنتی که شامل گروه های پوتی، لاک و آکریل اتوپلی مریزان می باشند استفاده شد. تست ریزنشت توسط محلول تالیم ۲۰۱ و دستگاه شمارش گاما در سه مرحله انجام گردید:

(۱) پس از خارج سازی نمونه ها از محلول تالیم،

(۲) پس از شستشوی نمونه ها،

(۳) پس از جداسازی مواد پوشاننده.

در این مطالعه جهت مقایسه میزان نفوذ رادیوایزوتوب به نمونه ها از آزمون آنالیز Co-Variance استفاده شد.

**یافته ها:** در سه گروه همراه با ایمپلنت، میزان ریزنشت ایمپلنت - پوتی - چسب ( $۷۶۳۷۹ \pm ۲۳۹۰۹ / ۵۸۶$ ) به صورت معنی دار از ایمپلنت - پوتی ( $۹۲۶ / ۴۰ \pm ۸۶۰۰ / ۴۰$ ) و ایمپلنت - پوتی به صورت معنی داری از ایمپلنت - لاک ( $۳۱۳۲۴ / ۲۰ \pm ۶۷۹۳۳ / ۰۳۱$ ) کمتر بوده است.

**نتیجه گیری:** در بررسیهای ریزنشت بهترین روش جهت پوشش نمونه های ایمپلنتی، پوتی با چسب قطره ای در لبه پوتی می باشد. اما لاک به دلیل ریزنشت بیشتر، ماده مناسبی جهت پوشش نمونه های ایمپلنتی نمی باشد.

**کلید واژه ها:** رادیوایزوتوب - ریزنشت - فیکسچر - ایمپلنت - ابامنت

پذیرش مقاله: ۱۳۹۱/۵/۱

اصلاح نهایی: ۱۳۹۱/۴/۶

وصول مقاله: ۱۳۹۰/۱۱/۱۲

**نویسنده مسئول:** دکتر حکیمه سیادت، گروه آموزشی پروتزهای دندانی دانشکده دندانپزشکی دانشگاه علوم پزشکی تهران  
e.mail: hsiadat@sina.tums.ac.ir

### مقدمه

محل اتصال ایمپلنت - ابامنت برای به حداقل رساندن واکنش التهابی و به حداقل رساندن ثبات استخوانی در ناحیه گردن ایمپلنت یک چالش جدی می باشد. به این منظور جهت بررسی

ریزنشت در حدفاصل محل اتصال ایمپلنت، ابامنت یک عامل مهم و اصلی زمینه ساز در ایجاد واکنش التهابی پری ایمپلنتایتیس می باشد. امروزه جلوگیری از نفوذ میکروبی در

کمی بودن، قابلیت تکرار، دقت و قابلیت نفوذ بالای آن به دلیل اندازه کوچک آن می‌باشد. (۸)

استفاده از مواد رادیوایزوتوپ یا Radiotracer و قابلیت نفوذپذیری آن می‌تواند جهت ارزیابی درز کم کند.

Tracer activity ماده رادیوایزوتوپی که از این درز عبور کرده و وارد فضای داخل ایمپلنت می‌شود بر اساس شمارش فوتون می‌تواند به عنوان یک پارامتر ریزنشت توسط دستگاه Gamma-counter اندازه‌گیری شود. (۹)

رادیوایزوتوپ به هر سطحی که تماس پیدا کند می‌چسبد. (۱۰-۱۶)، بنابراین باید از ماده‌ای جهت پوشاندن کلیه سطوح به جز ناحیه اتصال ابامنت، ایمپلنت استفاده کرد تا به غیر از این ناحیه، رادیوتیریسر با ناحیه دیگر تماس پیدا نکند و میزان تشعشعات گامای شمارش شده فقط مربوط به میزان رادیوایزوتوپی که به محل اتصال نفوذ پیدا کرده است باشد. به این ترتیب بررسی میزان ریزنشت محل اتصال ابامنت، ایمپلنت از دقت بالاتری برخوردار خواهد بود. هدف از این مطالعه تعیین ماده مناسب جهت پوشش ایمپلنت و ابامنت در بررسی ریزنشت محل اتصال ایمپلنت و ابامنت با استفاده از رادیوتیریسر و دستگاه شمارش گاما می‌باشد.

### روش بررسی

مطالعه حاضر یک مطالعه تجربی است. جهت انجام این مطالعه موادی که امکان استفاده از آنها به عنوان پوشش جهت ایمپلنت و ابامنت وجود داشت انتخاب شدند. این مواد شامل پوتی Speedex - Putty, Silicone Impression (Coltene/Whaledent, Deutsch )، آکریل (Luxatemp; DGM, Hamburg, Germany) و لاق ناخن (Bourjois, Paris) و چسب قطره‌ای بودند.

نکات مهمی در انتخاب این مواد حائز اهمیت می‌باشد. استفاده از آنها به آسانی صورت گیرد و حساسیت تکنیکی نداشته باشند.

رادیوتیریسر به راحتی به آن نفوذ نکند و به نمونه نرسد. پس از غوطه‌ورسازی در محلول رادیوایزوتوپ به راحتی از

میزان ریزنشت و روشهای کاهش آن مطالعات زیادی انجام شده است. (۱-۳)

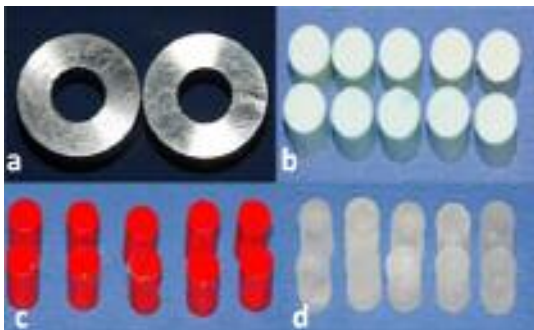
Broggini و همکاران در سال ۲۰۰۶ مطالعه‌ای را روی توزیع و تراکم سلول‌های التهابی اطراف ایمپلنت‌هادرحالتهای ke حدقائل ایمپلنت، ابامنت، Subcrestal-Supracrestal، Crestal بودند، انجام دادند. تمام ایمپلنت‌ها یک طرح مشابه از التهاب اطراف ایمپلنت را نشان داده بودند. در موارد Supracrestal تراکم نوتروفیل‌ها نسبت به Subcrestal بیشتر بود. بنابراین نتیجه گرفتند که اینترفیس ایمپلنت، ابامنت محل تجمع سلول‌های التهابی خواهد بود که در نهایت می‌تواند به تحلیل استخوان آلوئولار منجر شود. (۴)، مطالعات کلینیکی حتی وجود باکتری زنده را در سطح داخلی اجزای ایمپلنتی ثابت کرده است. (۵)

Jansen و همکاران در سال ۱۹۹۷ نشان داده‌اند که حتی سیستم‌های ایمپلنتی با تطابق بسیار بالا بین اجزا، به طور کامل نمی‌توانند از نفوذ و کلونیزاسیون باکتریال جلوگیری کنند. (۶)

باکتری‌ها برای رشد و بقای خود نیازمند وجود یک محیط مناسب می‌باشند. فضای فیزیکی مورد نیاز برای این عمل فضاهایی هستند که نتیجه قرار گرفتن ابامنت‌ها روی ایمپلنت‌ها می‌باشد. وقتی که ابامنت روی ایمپلنت قرار می‌گیرد در اطراف رزووها، انتهای پیچها و قاعده Screw chamber یک فضای مناسب برای رشد و نمو باکتری‌ها باقی می‌ماند. از طریق شکاف و درز بین ابامنت مایعات، ماکرومولکول‌های با منشا بزاق و توکسین‌های باکتریایی قادر به نفوذ بوده که این مواد نیز توان تأمین مواد اولیه مورد نیاز برای رشد و ادامه فعالیت باکتری‌ها را دارا می‌باشند و به این ترتیب یک محیط مناسب برای رشد و نمو باکتری‌ها ایجاد می‌شود. (۷)

روشهای متعددی از جمله استفاده از باکتری، هوای فشرده، ردیابهای شیمیایی، تغییرات الکتروشیمیایی، مطالعات اتورادیوگرافیک، میکروسکوپ الکترونی و نفوذ مواد رنگی برای تعیین ریزنشت استفاده می‌شوند. یکی دیگر از روشهای ارزیابی ریزنشت استفاده از ردیابهای رادیوакتیو

(Replace implant replica RP Noble Biocare, Goteborg, Sweden) و ایمپرشن کوپینگ Replace impression coping closed عدد آنالوگ فیکسچر و ایمپرشن با پوشش پوتی و پوشاندن درز لبه اتصال پوتی (که به دلیل شرینکیج پوتی ایجاد می‌شود) با چسب قطره‌ای. پنج عدد آنالوگ فیکسچر و ایمپرشن با پوشش لاک. لازم به ذکر است که مواد فقط تا یک میلی‌متری درز آنالوگ/ ایمپرشن قرار داده شدند تا خود مانع نفوذ رادیوایزوتوپ نشوند. یک عدد آنالوگ فیکسچر و ایمپرشن به عنوان کنترل مثبت جهت مقایسه میزان خام چسبندگی رادیوایزوتوپ بدون هیچ گونه پوششی استفاده شد. لازم به ذکر است که نیازی به کنترل منفی نبود. جهت بررسی میزان چسبندگی رادیوتراپیزیر به مواد مختلف و میزان نفوذ به عمق ماده از نمونه‌های غیرایمپلنتی استفاده شد. (شکل ۳)، این نمونه‌ها تحت عنوان Cylindrical Samples نامگذاری شدند. نمونه‌های CS شامل این موارد بودند:



شکل ۳: (a) سیلندر استیلنس استیل جهت تهیه نمونه‌های (CS). (b) نمونه از جنس پوتی، (c) نمونه از جنس پوتی و یک لایه لاک بر روی آن، (d) نمونه از جنس آکریل اتوپلیمریزان

ده عدد نمونه از جنس پوتی.

ده عدد نمونه از جنس پوتی و یک لایه لاک بر روی آن.

ده عدد نمونه از جنس آکریل اتوپلیمریزان.

جهت آماده‌سازی نمونه‌های غیرایمپلنتی (CS) و برای یکسان بودن ابعاد و در نتیجه یکسان بودن سطوح با یکدیگر، سیلندر فلزی از جنس استیلنس استیل در مقطع دایره به شکل

نمونه جدا شود. موجب آسیب به نمونه‌ها نشود. نحوه طراحی مطالعه به صورتی بود که بتواند دو هدف را تامین کند.

۱- بررسی قدرت نفوذ رادیوتراپیزیر به ماده وقتی که جهت پوشش ایمپلنت استفاده می‌شود، به منظور نحوه آماده سازی نمونه‌ها در مطالعاتی که بر روی ریزشت ایمپلنت انجام می‌شود.

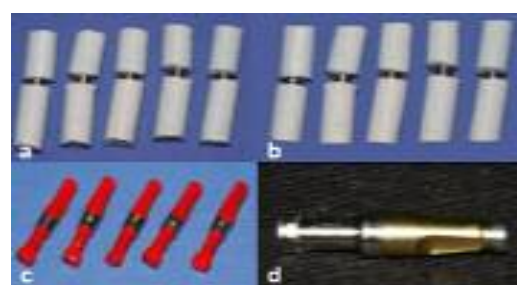
۲- بررسی میزان چسبندگی رادیوتراپیزیر به ماده و میزان نفوذ به عمق ماده، به منظور انتخاب بهترین ماده برای پوشش.

نمونه‌ها جمعاً ۴۶ عدد و در دو گروه به ترتیب زیر می‌باشند: (شکل ۱)، جهت بررسی قدرت نفوذ رادیوتراپیزیر به ماده وقتی که برای پوشش ایمپلنت استفاده می‌شود از نمونه‌های آنالوگ ایمپلنت که به ایمپرشن کوپینگ متصل شده بودند استفاده شد. (شکل ۲)، این نمونه‌ها تحت عنوان Implant Samples نامگذاری شدند. نمونه‌های IS Samples (IS) شامل این موارد

بودند:



شکل ۱: نمودار گروه بندی نمونه‌ها



شکل ۲: نمونه‌های ایمپلنتی (IS). (a) آنالوگ/ ایمپرشن با پوشش پوتی و پوشاندن درز لبه اتصال پوتی با چسب قطره‌ای، (c) آنالوگ/ ایمپرشن با پوشش لاک، (d) آنالوگ/ ایمپرشن بدون هیچ گونه پوششی به عنوان کنترل مثبت

در پایان کار نمونه‌ها (CS, IS) به مدت ۱۲ روز جهت جلوگیری از آلودگی فیزیکی رادیواکتیو در محیط با حفاظ سربی قرنطینه شدند. لازم به ذکر است نیمه عمر تالیم ۷۲ ساعت می‌باشد.

در این مطالعه جهت مقایسه میزان نفوذ رادیوایزوتوپ به نمونه‌ها از آزمون آنالیز Co-Variance با در نظر گرفتن میزان نفوذ اولیه رادیوایزوتوپ به عنوان Covariate استفاده گردید.

### یافته‌ها

کلیه عملیات آماری با استفاده از نرم افزار آماری Spss PC ویرایش ۱۱/۵ و با در نظر گرفتن خطای نوع اول آماری برابر  $0.05 \leq P \leq 0.005$  انجام گردید.

آنالیز آماری نشان داد که میزان ریزنشت در هر سه دوره شمارش بین گروهها تفاوت معنی‌دار بوده است. (نمودار ۱) و این به این معنی است که:

۱- شستشو به طور معنی‌داری در هر دو گروه نمونه‌ها (CS, IS) موجب کاهش رادیوتیریسر از روی نمونه‌ها شده است.

۲- در گروه نمونه‌های IS، هر سه روش استفاده شده به طور معنی‌داری موجب کاهش رسیدن رادیوتیریسر به نمونه‌ها شده است.

۳- در گروه نمونه‌های CS با برداشتن یک میلی‌متر از ضخامت نمونه‌ها مشخص شد به طور معنی‌داری نفوذ رادیوتیریسر به عمق یک میلی‌متری کاهش یافته است.

میزان ریزنشت در بین گروه نمونه‌های CS (پوتی، پوتی با لاک و آکریل) اختلاف معنی‌داری نداشت. میانگین ریزنشت رادیوایزوتوپ مرحله سوم شمارش گاما در جدول (۱) آمده است.

تست Post Hoc Tukey LSD نشان داد که در سه گروه همراه با ایمپلنت IS، میزان ریزنشت پوتی، چسب به صورت معنی‌دار از پوتی، و پوتی به صورت معنی‌داری از لاک کمتر بوده است. ( $P \leq 0.05$ )

استوانه و به قطر و ارتفاع پنج میلی‌متر ساخته شد. پس از آن با استفاده از این سیلندر نمونه‌های CS تهیه شدند. تست ریزنشت نمونه‌های IS و چسبندگی رادیوایزوتوپ در نمونه‌های CS در سه مرحله انجام شد. در مرحله اول کلیه نمونه‌های (CS, IS) به مدت ۲۴ ساعت در محلول رادیوتیریسر (Thalliumchloride-201) با غلظت دو میلی‌کوری در پانصد سی‌سی آب قرار داده شدند. سپس به دقت از محلول خارج شدند. پس از آنکه نمونه‌ها خشک گردید در موقعیت یکسان، داخل لوله‌های آزمایش ویژه شمارشگر اشعه گاما قرار گرفته و به طور همزمان با استفاده از دستگاه Gamma counter (Kontron, Gammatic, Switzerland) گامای تالیم ۲۰۱ Photo pick در مدت یک دقیقه تحت شمارش گاما قرار گرفتند. تمامی مقادیر به دست آمده به صورت شمارش گاما در دقیقه ثبت شدند. (۱۷)

در مرحله دوم نمونه‌ها (CS, IS) به دقت و با استفاده از Detergent و محلول Microbrush با آب مقطر شسته شدند. در نمونه‌های IS دقت شد که محل اتصال آنالوگ ایمپرشن شسته نشود. سپس نمونه‌ها (IS) مجدداً به دقت و در موقعیت یکسان داخل لوله‌های آزمایش ویژه شمارشگر اشعه گاما قرار داده شدند و به طور همزمان و در مدت یک دقیقه تحت شمارش گاما قرار گرفتند. تمامی مقادیر به دست آمده به صورت شمارش گاما در دقیقه (cpm) ثبت شدند.

در مرحله سوم جهت بررسی میزان نفوذ رادیوتیریسر درون مواد استفاده شده در نمونه‌های CS، نمونه‌های استوانه‌ای شکل پوتی و پوتی با لاک توسط بیستوری دور تا دور به ضخامت یک میلی‌متر بربیده شدند. آنگاه نمونه‌های آکریلی به ضخامت یک میلی‌متر توسط فرز آکریل بر، برداشته شدند. در نمونه‌های IS نمونه‌های ایمپلنتی با پوتی و پوتی با چسب، پوتی آنها کاملاً جدا شد. نمونه‌های ایمپلنت با لاک، لاک آنها تراشیده شد. سپس هر دو گروه نمونه CS و IS مجدداً تحت شرایط دو مرحله قبل تحت شمارش گاما قرار گرفتند.

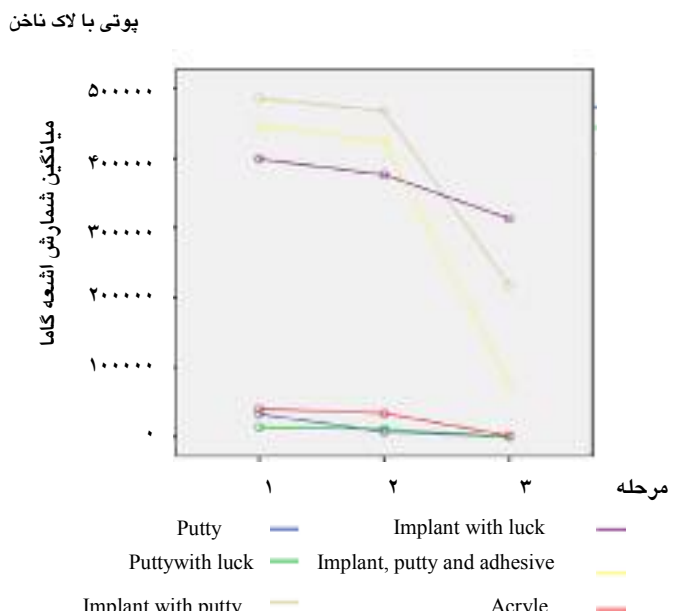
بر اساس مطالعات Broggini و همکارانش در سال ۲۰۰۶ وجود Microgap در ایمپلنت‌های Bone level همراه با وجود باکتری‌های پایدار و نشت باکتریابی موجب تجمع سلول‌های التهابی، ایجاد و رشد استئوکلاست‌ها و تحلیل استخوان آلوئولار می‌شود. (۲)

رادیوایزوتوب روشهای دقیق، نسبتاً ارزان و کاملاً قابل تکرار است که امکان اندازهگیری مقادیر کمی ریزنشت را می‌دهد. نمونه‌ها در این روش کاملاً قابل بازیابی هستند و پس از انجام تست، می‌توان تست‌های لابراتواری دیگری بر روی نمونه‌ها انجام داد. ولی در استفاده از رادیوایزوتوب جهت بررسی میزان ریزنشت جهت هر چه دقیقت‌شدن نتایج بقیه نواحی نمونه را باید با ماده مناسبی پوشاند. (۲۳)، موادی که می‌توان به عنوان پوشش از آنها استفاده کرد شامل پوتی، چسب قطره‌ای، آکریل و لاک ناخن می‌باشد.

بر اساس نتایج به دست آمده در نمونه‌های غیر ایمپلنتی چسبندگی و قدرت نفوذ رادیوتربیسر به لاک کمتر از پوتی و پوتی کمتر از آکریل بوده است. البته اختلاف آماری معنی‌داری بین این گروه‌ها نبوده است، ولی در کاربرد این مواد با آنالوگ ایمپلنت (گروه IS) اختلاف بین نمونه‌ها معنادار بوده است. با توجه به آنکه اگر از آکریل برای پوشاندن سطح آنالوگ ایمپلنت‌ها استفاده شود هم کار با آن سخت است و هم جدا کردن آن به دلیل چسبندگی به نمونه‌ها بسیار مشکل است، به نظر می‌رسد جهت نمونه‌های ایمپلنتی نیز مناسب نباشد.

در نمونه‌های IS در گروهی که از لاک استفاده شده است، آگشتن یکنواخت نمونه‌ها به لاک کار مشکلی است و مدتی باید صبر کرد تا کاملاً خشک شود. همچنین تراشیدن کامل لاک از نمونه‌های ایمپلنتی (IS) کار بسیار سختی است و در حین تراشیدن احتمال اینکه آلوگی رادیوتربیسر به نقاط دیگر انتقال پیدا کند بسیار زیاد است و موجب ایجاد خطا در نتایج مطالعه می‌گردد.

استفاده از پوتی در مقایسه با لاک و آکریل این مزیت را دارد می‌باشد که به راحتی از نمونه کنده می‌شود. همچنین کار با آن بسیار ساده است، تنها مشکلی که وجود دارد لبه پوتی



نمودار ۱: مقایسه میزان ریزنشت مواد پوشاننده در سه مرحله شمارش گاما (مرحله ۱: شمارش اولیه، مرحله ۲: شمارش پس از شستشو، مرحله ۳: شمارش پس از بریدن پوتی، تراشیدن آکریل و لاک ناخن).

جدول ۱: میانگین و انحراف معیار ریزنشت رادیوایزوتوب در مرحله سوم شمارش گاما در دو گروه نمونه (CS, IS)

گروه بندی	ماده پوشاننده	انحراف معیار (cpm)	میانگین (cpm)
Cylindrical Samples (CS)	پوتی	۴۱۰/۱۲۱	۲۶۹/۳۰
	آکریل	۲۲۳۶/۵۶۳	۱۵۵۸/۷۰
	پوتی با لاک ناخن	۴۲۰/۹۶۹	۲۶۷/۶۰
Implant Samples (IS)	پوتی	۸۶۰۰۷/۹۲۶	۲۱۷۳۴۳/۴۰
	لاک	۶۷۹۳۳/۰۲۱	۲۱۳۲۴۷/۲۰
پوتی و چسب		۲۲۹۰۹/۵۸۶	۷۶۳۷۹

## بحث

Peri-implantitis به عنوان واکنش التهابی همراه با از دست رفتن استخوان حمایت کننده اطراف ایمپلنت در فانکشن تعریف می‌شود. (۱۸)، بهداشت ضعیف اطراف ایمپلنت در ارتباط مستقیم با تجمع پلاک باکتریال و Peri implant mucositis در انسان بوده است که محل تجمع مجموعه‌ای از فلور میکروبی متداول پاتوژن‌های پریودنتال می‌باشد. (۲۲-۱۹)

ایمپلنتی (IS) پوتی همراه با چسب قطره‌ای در لبه پوتی می‌باشد.

### تقدیر و تشکر

این مقاله منتج از گرن تحقیقاتی بنیاد ملی نخبگان و طرح مصوب شماره ۱۰۱۲۷ مرکز تحقیقات دندانپزشکی می‌باشد که بدین‌وسیله تشکر می‌گردد.

است که به نمونه نمی‌چسبد و به دلیل شرینکیج فاصله اندکی با نمونه دارد که موجب نشت مواد از آن ناحیه می‌شود. این مشکل با زدن چسب قطره‌ای در لبه نمونه حل شده است. البته باید دقیق کرد که چسب به محل اتصال آنالوگ ایمپرشن نفوذ نپیدا نکند.

### نتیجه‌گیری

با توجه به محدودیتهای این مطالعه، بر اساس نتایج، در بررسیهای ریزنشت بهترین روش جهت پوشش نمونه‌های

## REFERENCES

1. Sonke Harder, Birka Dimaczek, Yaha Acil, Hendrik Terheyden, Sandra Freitag-Wolf, Matthias Kern. Molecular leakage at implant-abutment connection \_in vitro investigation of tightness of internal conical implant-abutment connections against endotoxin penetration. Clin Oral Invest. 2010 August; 14(4): 427- 432.
2. Broggini N, McManus LM, Hermann JS, Medina RU, Oates TW, Schenk RK, Buser D, et.al. Persistent acute inflammation at the implant-abutment interface. J Dent Res. 2003 March; 82 (3):232-7.
3. Adell R, Lekholm U, Rockler B, Bränemark PI. A 15-year study of osseointegrated implants in the treatment of the edentulous jaw. Int J Oral Surg. 1981 Dec; 10(6): 387- 416.
4. N. Broggini LM, Manus Mc, Hermann JS, Medina R, Schenk RK, Buser D, et.al. Peri-implant inflammation defined by the implant-abutment interface. J Dent Res. 2006 May; 85(5): 473-78.
5. Quirynen M, Van Srevenbergh D. Bacterial colonization of the internal part of two stage implants. An in vivo study. Clin Oral Implants Res. 1993 Sep; 4(3): 158- 161.
6. Jansen VK, Conrads G, Richter EJ. Microbial leakage and marginal fit of the implant-abutment interface. Int J Oral Maxillofac Implants. 1997 July-August; 12(4): 527-540.
7. Gross M, Abramovich I, Weiss EI. Microleakage at the abutment-implant interface of osseointegrated implants: A comparative study. Int J Oral Maxillofac Implants. 1999 Jan-Feb; 14(1): 94-100.
8. Duygu Sarac, Y. Sinasi Sarac, Tarik Basoglu, Oktay Yapici, Emir Yuzbasioglu. The evaluation of microleakage and bond strength of a silicone-based resilient liner following denture base surface pretreatment. J Prosthet Dent. 2006 Feb; 95(2): 143-51.
9. Antonio Scarano, Barto Iomeo Assenzo, Maurizio Piattelli, Giovanna Lezzi, Giulio C. Leghissa, Alessandro Quaranta, et.al. A 16-Year study of the micorgap between 272 human titanium implant and their abutments. J Oral Implant. 2005 June; 31(6): 269-75.
10. Douglas, Kenneth T, Bunni, Marlene A, Baindur, Swati R. Thallium in biochemistry. Inter J Biochem. 1990 May; 22(5):429-438.

11. H. Williani SH, Katherine H, Jamies K, Lancan, Elliot L, Bertrami P. Thallium-201 for Myocardial imaging: Relation of thallium-201 to regional myocardial perfusion. *Circulation* 1975 April;51(4):641-645.
12. Ferro S, Donatoni M, De Battisti A, Andreev VN. Adsorption of thallium cations on RuO<sub>2</sub>-TiO<sub>2</sub> electrodes. *J Appli Electrochem.* 2007 Sep; 37(11):1389-1394.
13. Nick D, Kim, Stefan J, Hill. Sorption of lead and thallium on borosilicate glass and polypropylene: Implications for analytical chemistry and soil scienc. *Environ Tech.* 1993 Sep;14(11):1015-1026.
14. José Rivera-Utrilla, Maria A, Ferro-Garcia, Andrés Mata-Arjona, Cecilio González-Goméz. Studies on the adsorption of caesium, thallium, strontium and cobalt radionuclides on activated carbons from aqueous solution. *J Chem Tech Biotech.* 1984 July; 34(5):243-250.
15. Puangrat Kajitvichyanukul, CR. Chenthamarakshan, Syed R. Qasim, Krishnan Rajeshwar. Adsorbed Thallium (I) Ions as a Probe of surface charge in uv-Irradiated titania/aqueous solution interfaces. *Langmuir* 2001 June; 17(13): 3792-3794.
16. Pedro A, Lehmann F, Liliana Favari. Parameters for the adsorption of thallium ions by activated charcoal and prussian blue. *Clin Toxicol.* 1984 April; 22(4):331-339.
17. Mc Curdy CR Jr, Swartz ML, Phillips RW, Rhodes BF. A comparison of in vivo and in vitro microleakage of dental restorations. *J Am Dent Assoc.* 1974 March; 88(3):592-602.
18. Albrcktsson T, Isidor F. Consensus report of session IV (implant denristry). In: Proceedings of the '1 st european workshop on periodontology. London: Quintessence; 1994, 365-369.
19. Pontoriero R, Tonelli MP, Carnevale G, Mombelli A, Nyman SR, Lang NP. Experimentally induced peri-implant mucositis. *Clin Oral Implants Res.* 1994 Dec;5(4):254-259.
20. Mombelli A, Van Oosten MAC, Schurch E, Lang NP. The microbiota associated with successful or failing osseointegrated titanium implants. *Oral Microbiol Immunol.* 1987 Dec; 2(4):145-151.
21. Rosenberg ES, Torosian JP, Slots J. Microbial differences in 2 clinically distinct types of failures of osseointegrated implants. *Clin Oral Implants Res.* 1991 July-Sep;2(3):135-144.
22. Berglundh T, Lindhe J, Marinello C, Ericsson I, Liljenberg B. Soft tissue reactions to de novo plaque formation on implants and teeth. An experimental study in the dog. *Clin Oral Implants Res.* 1992 March; 3(1):1-8.
23. Sandler MP. Diagnostic nuclear medicine. 4<sup>th</sup> ed. Philadelphia: Lippincott Williams & Wilkins; 2003, 9-15.